

بررسی دینامیکی و ترمودینامیکی ساختار پُرفشار سیبری و عوامل موثر در تقویت آن در دوره ۱۹۴۸ تا ۲۰۰۸

معصومه احمدی حجت^۱ و فرهنگ احمدی گیوی^۲

^۱دانشگاه آزاد اسلامی، واحد علوم و تحقیقات، تهران، ایران
^۲موسسه ژئوفیزیک، دانشگاه تهران، ایران

(تاریخ دریافت: ۱۳۹۰/۳/۱۰، تاریخ پذیرش: ۱۳۹۰/۹/۳۰)

چکیده

در این تحقیق با شناسایی ۲۵ مورد از قوی‌ترین رویدادهای پُرفشار سیبری در یک دوره ۶۰ ساله (۱۹۴۸ تا ۲۰۰۸)، ساختار این سامانه جویی و برخی از عوامل موثر در تقویت آن از دیدگاه دینامیکی و ترمودینامیکی مورد بررسی قرار می‌گیرد. این کار با استفاده از داده‌های NCEP/NCAR در دوره مورد تحقیق صورت می‌گیرد. نتایج نشان می‌دهد که بخش جریان‌سوی پُرفشار سیبری دارای ساختار گرمایی و بخش پادرجیان‌سوی آن دارای ساختار دینامیکی است. همچنین مشاهده می‌شود که پُرفشار سیبری فقط یک سامانه محدود به سطح زمین نیست و می‌تواند با میدان‌های هواشناختی در بالای جوّ نیز در ارتباط باشد که نوسان وردایست در هنگام تقویت پُرفشار سیبری از آن جمله است. به علاوه، ساختار گردش میدان باد به گونه‌ای است که با اینکه عموماً پُرفشار سیبری به منزله یک واچرخند سطح زمین شناخته شده است، اما در سطوح فوقانی، یک چرخند در بخش جریان‌سو و یک واچرخند در بخش پادرجیان‌سوی آن شکل می‌گیرد. از دیگر نتایج آن که در مرحله تقویت پُرفشار سیبری، یک قطار موج شباهیستای راسپی بیرونی در بالای جوّ وجود دارد، به طوری که یک پشه آن در بخش پادرجیان‌سوی مرکز پُرفشار بند می‌آید (بلاک می‌شود). به نظر می‌رسد که جفت‌شده‌گی و برهم‌کشی بین بی‌هنجری‌های واچرخندی ناشی از هوای سرد سطح زمین با گردش‌های ناشی از بی‌هنجری تاوایی پتانسیلی قطار موج راسپی موجود در بالای جوّ نقش موثری در تقویت پُرفشار سیبری و تقویت پشه بند آمده واقع در بخش پادرجیان‌سوی آن دارد.

واژه‌های کلیدی: پُرفشار سیبری، تاوایی پتانسیلی، نوسان وردایست، موج شباهیستای راسپی بیرونی، بندالی (بلاکینگ)

Examination of dynamical and thermodynamical structures of the Siberian high pressure and its amplification during the period of 1948-2008

Masomeh Ahmadi-Hojat¹ and Farhang Ahmadi-Givi^{2*}

¹Science and Research Branch, Islamic Azad University, Tehran, Iran

²Institute of Geophysics, University of Tehran, Iran

(Received: 31 May 2011, accepted: 21 December 2011)

*Corresponding author:

ahmadig@ut.ac.ir

*نگارنده رابط:

Summary

The purpose of this paper was to study the dynamical and thermodynamical structures of the Siberian high pressure (SH) and some of the effective parameters in its development. The data used were from the National Centers for Environmental Prediction–National Center for Atmospheric Research (NCEP–NCAR) reanalysis winter time data for a 60-year period (1948–2008). To identify the most significant feature points using the Siberian High Index (SHI) the 25 strongest cases were selected from the period of the study. The range of the fields investigated included the mean sea level pressure, the lower- and upper-tropospheric geopotential heights, wind, temperature, and the potential vorticity (PV), as well as the pressure field on the tropopause surface ($PV = 2 \text{ PVU}$) and the wave activity vector.

The results showed that in the sea level pressure field, the Siberian high pressure has been strengthening around its climatological position at the developing stage until the peak time. After that the high pressure has started to extend and its central cell has been divided into two distinct cells with one moving southeastward into the Far East and consequently cold surge over there while the ridge of the other cell extends westerly toward Europe and the North East of Iran.

The composite maps of the anomalies suggest that the vertical structures of the SH are different in the downstream and upstream portions of the surface high. A noticeable feature was that the downstream portion of the SH exhibited a thermal structure, while its upstream portion showed a dynamical structure. In addition, although the SH was generally recognized as an anticyclonic circulation in the lower troposphere, the vertical structure of the wind anomalies indicated that there were cyclonic and anticyclonic circulations in the upper troposphere, respectively, in the downstream and upstream parts of the central area ($40\text{--}65^\circ\text{N}$, $80\text{--}120^\circ\text{E}$) of the SH.

At the amplification stage of the SH, the appearance of negative pressure anomalies over the Mediterranean Sea implies that this stage can enhance favorable conditions for cyclogenesis over the Mediterranean Sea. This indicates that the SH could have some impacts on the meteorological fields outside its source area.

The other finding was that the SH may have profound effects on the meteorological fields in the middle- and upper-troposphere. Examples include the occurrence of a tropopause folding in the downstream side of the SH and the formation of a blocking ridge, as a part of a quasi-stationary external Rossby wave train, in the upstream side when the surface high is amplified.

The calculation of the horizontal component of the wave activity flux for the stationary Rossby wave revealed that the Rossby wave originated from the Euro-Atlantic sector and the blocking ridge was a component of this approaching wave. Also, during the development of the blocking ridge, the wave activity flux diverges from the negative height anomalies located at the upstream of the ridge and converges into the amplifying blocking ridge.

By evaluating each term of the horizontal temperature advection based on a composite field for the 850 hPa level, it was found that the advection of the basic state temperature by wind anomalies had an important role in developing a surface cold high throughout the amplification stage of the Siberian high pressure.

Finally, through a qualitative analysis, it was seen that the coupling between the negative PV anomalies at the surface due to the low-level cold anomalies and upper-level positive PV anomalies due to the tropopause folding lead to the amplification of the SH as well as the blocking ridge. The main conclusion was that the SH was not simply a local thermal system along with the restricted effects in the low-level troposphere.

Key words: Siberian high, potential vorticity, tropopause folding, quasi-stationary external Rossby wave, blocking

نتایج برخی از پژوهش‌ها حاکمی از آن است که تقویت پُرفشار سیبری با بی‌هنگاری‌های گردش در بالای وردسپهر ناشی از عبور امواج راسی، در ارتباط است (سودا، ۱۹۵۷؛ ژانگ و هیچمن، ۱۹۸۲). تاکایا و ناکامورا (۲۰۰۵) ضمن نشان دادن ارتباط بین تقویت پُرفشار سیبری با وقوع بندالی در غرب آن، نتیجه گرفتند که نقش برهمنش بین بی‌هنگاری‌های تاوایی پتانسیلی بالای وردسپهر با بی‌هنگاری‌های تاوایی پتانسیلی ناشی از هوای سرد سطح زمین، در تقویت پُرفشار سیبری دارای اهمیت زیادی است. درباره تحقیقات صورت گرفته روی پُرفشار سیبری در داخل کشور نیز می‌توان به چند نمونه اشاره کرد. علیجانی (۱۳۶۹) روشن ساخت که پُرفشار سیبری منشا دینامیکی دارد و سرد شدن سطح زمین وسیع سیبری اثر دینامیکی امواج بادهای را تشید می‌کند. چوخارچی‌زاده مقدم (۱۳۷۶) به بررسی الگوهای همدیدی پُرفشار سیبری و اثرات آن بر دمای شمال شرق ایران پرداخته و با استفاده از اطلاعات هواشناسی ۹ ایستگاه شمال شرق در سال‌های ۱۹۸۴-۱۹۸۸، نشان داده است که وقوع کاهش دما در فصل سرد سال در این منطقه به علت تقویت مرکز پُرفشار سیبری است. میزان تقویت این مرکز نیز بستگی به الگوی امواج غربی در تراز ۵۰۰ هکتوپاسکالی دارد. تحقیق محمدنژاد و همکاران (۱۳۸۸) حاکمی از آن است که بین بازه نوسان سالانه پُرفشار سیبری و بارش در مناطق غرب، شمال غرب و قسمتی از شرق ایران خصیب همبستگی مثبت و بین $0/6$ تا $0/3$ است، ولی بازه این نوسان در فراوانی چرخندهای حوزه مدیترانه و دریایی سرخ اثری ندارد.

در پژوهش‌های صورت گرفته در خارج و به ویژه در داخل کشور، بیشتر اثر پُرفشار سیبری بر کمیت‌های اقلیمی

۱ مقدمه

پُرفشار سیبری یک سامانه نیمه‌دانمی سطح زمین است که در فصل زمستان نیمکره شمالی روی قاره اورآسیا شکل می‌گیرد. فشار میانگین بلندمدت مرکز این سامانه بالغ بر 1030 hPa است. در میانگین‌های اقلیمی، پُرفشار سیبری جزء سامانه‌های وردسپهر پایین است و در طبقه‌بندی‌ها نیز سامانه‌ای گرمایی محسوب می‌شود (ناکامورا و تاکایا، ۲۰۰۵). نتایج برخی از تحقیقات حاکمی از آن است که پُرفشار سیبری دارای بزرگ‌ترین دامنه در بخش زیرین وردسپهر است، اما به طور غیرمستقیم با جریانات بالای وردسپهر نیز در مقیاس نیمکره‌ای در ارتباط است (پاناگیوتیپولس و همکاران، ۲۰۰۵). به علاوه، روشن شده است که این پدیده با دیگر پدیده‌های جوی دارای برهمنش است. برای نمونه، می‌توان به مونسون زمستانی شرق آسیا اشاره کرد که اثری تعیین‌کننده بر اقلیم سطح زمین این منطقه در فصل سرد سال دارد و تغییرات دمای میانگین فصلی این منطقه به شدت متأثر از پُرفشار سیبری است (دینگ، ۱۹۹۰؛ گنگ و هو، ۲۰۰۴). برخی از تحقیقات پیشین مربوط به پُرفشار سیبری، بر تغییرپذیری میان‌فصلی و میان‌سالانه آن براساس گردش وردسپهری پایین و یا بودجه گرمایی شامل اثر تابشی تاکید دارند. دینگ و کریشنامورتی (۱۹۸۷) از طریق تحلیل بودجه گرمایی، نتیجه گرفتند که سرمایش شدید دررو به همراه یک فرونشینی بزرگ‌مقیاس، در ایجاد سریع یک پُرفشار حوالی پُرفشار سیبری مؤثر است که پیامد غالب آن، وقوع ناگهانی هوای سرد یا کشنند سرما (cold surge) در عرض‌های میانی شرق دور است. به طور متوسط ۲۰ تا ۳۰ کشنند سرما طی یک فصل زمستان مشاهده شده است (دینگ و کریشنامورتی، ۱۹۸۷؛ دینگ، ۱۹۹۰).

$$PV = -g \left[\left(\frac{\partial v}{\partial x} - \frac{\partial u}{\partial y} \right)_p + f - \frac{\partial p}{\partial \theta} \left(\frac{\partial \theta}{\partial x} \frac{\partial v}{\partial p} - \frac{\partial \theta}{\partial y} \frac{\partial v}{\partial p} \right) \right] \frac{\partial \theta}{\partial p}, \quad (2)$$

که u و v مولفه‌های مداری و نصف‌النهاری باد، $f = 2\Omega \sin(\phi)$ پارامتر کوریولیس و g شتاب گرانش زمین است. در رابطه پارامتر کوریولیس، $\Omega = 7.29 \times 10^{-5} \text{ rad/s}$ سرعت زاویه‌ای چرخش زمین و ϕ عرض جغرافیایی است.

برای محاسبه ضریب همبستگی بین شدت منطقه مرکزی پُرفشار سیبری و سایر میدان‌های هواشناختی، ابتدا یک شاخص منطقه‌ای به صورت بی‌هنگاری میانگین روزانه فشار تراز دریا در منطقه مرکزی پُرفشار سیبری (۴۰–۶۵ درجه شمالی و ۸۰–۱۲۰ درجه شرقی) نسبت به میانگین بلندمدت فشار تراز دریا در آن منطقه محاسبه می‌شود. این روش را می‌توان برای هریک از میدان‌ها و در هریک از نقاط شبکه‌ای تکرار کرد و شاخص منطقه‌ای آنها را به دست آورد (پاناگیو توپولس و همکاران، ۲۰۰۵). در ادامه، ضریب همبستگی بین میانگین شاخص منطقه‌ای پُرفشار سیبری و کمیت‌های ارتفاع ژئوپتانسیلی در ترازهای متفاوت و تراز فشاری وردایست محاسبه شده است.

برای شناسایی قوی‌ترین رویدادهای پُرفشار سیبری در دوره مورد بررسی ۶۰ ساله، به طریق زیر عمل می‌کنیم. ابتدا، برای هر روز از فصل زمستان (از اول دسامبر تا پایان ماه فوریه) هر سال، شاخص پُرفشار سیبری محاسبه می‌شود. دوره‌ای که حداقل به مدت ۸ روز پی دربی مقدار این شاخص مثبت بوده است، در حکم یک رویداد قوی شناخته می‌شود (تاکایا و ناکامورا، ۲۰۰۵). با این روش، ۲۵ مورد از قوی‌ترین این رویدادها تعیین شده است. به طور معمول، هریک از این ۲۵ رویداد طوری بوده است که ابتدا شدت فعالیت منطقه مرکزی پُرفشار سیبری به

مناطق خاص مانند دما و بارش یا پدیده‌های دیگر بررسی شده و بسیار اندک به دینامیک و عوامل موثر در شکل‌گیری و تقویت این سامانه پرداخته شده است. در تحقیق حاضر سعی شده است با استفاده از محاسبه شاخص مناسب برای پُرفشار سیبری و شناسایی قوی‌ترین رویدادهای آن در طی یک دوره ۶۰ ساله (از ۱۹۴۸ تا ۲۰۰۸)، ضمن به کارگیری روش تحلیل ضرایب همبستگی، ساختار پُرفشار سیبری از دیدگاه دینامیکی و ترمودینامیکی مورد بررسی قرار گیرد.

۲ داده‌ها و روش تحقیق

در این پژوهش، از داده‌های باز تحلیل میانگین روزانه و ماهانه فشار تراز دریا و همچنین ارتفاع ژئوپتانسیلی، دمای هوا و مولفه‌های مداری و نصف‌النهاری میدان باد در ترازهای ۱۰۰۰، ۹۲۵، ۸۵۰، ۷۰۰، ۵۰۰، ۴۰۰، ۳۰۰، ۲۵۰، ۲۰۰، ۱۵۰ و ۱۰۰ هکتوپاسکال استفاده شده است. این داده‌ها با تفکیک افقی $2/5 \times 2/5$ درجه در دو راستای مداری و نصف‌النهاری برای دوره مورد بررسی از مرکز ملی پیش‌بینی محیطی و مرکز ملی تحقیقات جویی (NCEP/NCAR) به دست آمده‌اند. علاوه بر این، دمای پتانسیلی، (θ)، روی سطوح هم‌فشار یاد شده، با استفاده از رابطه پواسون به صورت زیر به دست آمده است (هولتون، ۲۰۰۴):

$$\theta = T \left(\frac{p_0}{p} \right)^{\frac{R}{C_p}}, \quad (1)$$

که T دمای مطلق، p_0 فشار استاندارد جو (برابر با ۱۰۰۰)، p فشار، $R = 287 \text{ JKg}^{-1} \text{ K}^{-1}$ ثابت عمومی گازها برای هوای خشک و $C_p = 1005 \text{ JKg}^{-1} \text{ K}^{-1}$ ظرفیت گرمای ویژه هوا در فشار ثابت است. تاوایی پتانسیلی در سطوح هم‌فشار نیز از رابطه زیر محاسبه شده است (بلوشتاین، ۱۹۹۲):

تغییر می‌کند، به طوری که زبانه‌ای از آن در جهت جنوب شرقی وارد جنوب شرق آسیا می‌شود و زبانه دیگری از آن تا اروپا امتداد می‌یابد.

جدول ۱ مقادیر شاخص مداری که به صورت اختلاف پُرفشار تراز دریا بین عرض‌های ۳۵ و ۵۵ درجه شمالی و در راستای نصف‌النهار ۹۰ درجه شرقی (که از محدوده منطقه مرکزی پُرفشار سیبری می‌گذرد) تعریف می‌شود (هاسچک، ۱۹۸۰) را در هر یک از مراحل تقویت و تضعیف پُرفشار سیبری نشان می‌دهد. براساس این جدول، در مرحله تقویت و با افزایش شاخص مداری، از گسترش مداری پُرفشار سیبری کاسته می‌شود؛ اما در مرحله تضعیف، با کاهش شاخص مداری مجددًا و با آهنگ سریع تری این پُرفشار در راستای مداری بسط می‌یابد. بی‌亨جارتی‌های پُرفشار تراز دریا نسبت به میانگین بلندمدت زمستانی در شکل ۱ نیز به این نتایج تأکید دارد. بهویژه آنکه در مرحله تقویت پُرفشار سیبری، بی‌亨جارتی‌های منفی پُرفشار تراز دریا که ابتدا در شمال اروپا دیده می‌شود، به تدریج به سمت دریای مدیترانه منتقل می‌یابد که می‌تواند نشانگر آن باشد که این مرحله به افزایش شرایط مناسب برای چرخندزایی روی دریای مدیترانه کمک می‌کند. همچنین مشاهده می‌شود که در مرحله تضعیف پُرفشار سیبری، هسته بی‌亨جارتی‌های مثبت که در مرکز پُرفشار وجود دارد، به تدریج به دو هسته جداگانه تجزیه می‌شود. یکی از این هسته‌ها در جهت جنوب شرق حرکت می‌کند و بی‌亨جارتی‌های مثبت را به مناطق جنوب شرق آسیا منتقل می‌کند. زبانه‌های هسته دوم نیز که در غرب هسته اول شکل گرفته است، یکی از سمت شمال

تدریج افزایش می‌یابد تا اینکه به بیشینه حد خود می‌رسد و پس از آن از شدت فعالیت این منطقه کاسته و پُرفشار تضعیف می‌شود. بنابراین دوره عمر هریک از این رویدادها نسبت به روزی که بیشترین شدت فعالیت در مرکز پُرفشار مشاهده شود (روز +۰)، شامل چهار روز قبل از آن (روز -۴) تا چهار روز پس از آن (روز +۴) است و به ۹ روز تقسیم می‌شود. در ادامه، میانگین کمیت‌های هواشناختی مورد نظر برای هریک از روزهای متناظر در بین ۲۵ رویداد قوی، محاسبه شده و مبنای تحقیقات بعدی قرار گرفته است.

۳ مشخصه‌های ۲۵ مورد رویداد بسیار قوی پُرفشار

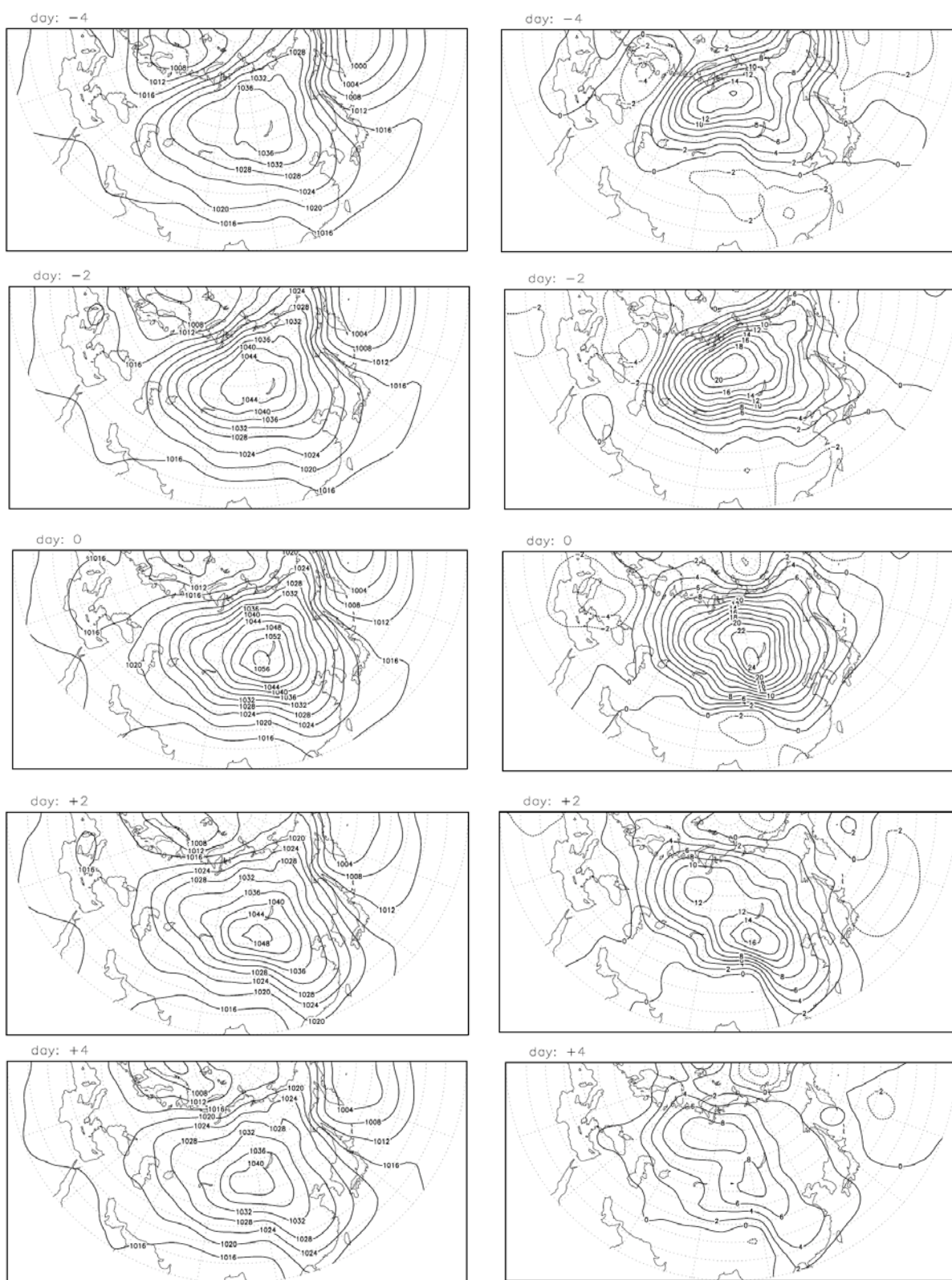
سیبری در سطح زمین و سطوح فوقانی

۱-۳ تحول زمانی پُرفشار تراز دریا

تحول زمانی میانگین پُرفشار تراز دریا و بی‌亨جارتی‌های آن برای ۲۵ مورد از قوی‌ترین رویدادهای پُرفشار سیبری در دوره ۶۰ ساله، در شکل ۱ نشان داده شده است. با توجه به شکل، دیده می‌شود که پُرفشار تراز دریا ابتدا در مرحله تقویت (از روز -۴ تا روز صفر) و در اطراف موقعیت اقلیمی پُرفشار سیبری به تدریج افزایش می‌یابد و خطوط هم‌پُرفشار نیز متراکم‌تر می‌شوند. در این مرحله، پُرفشار مرکزی از ۱۰۳۶ hPa در روز -۴ به ۱۰۵۶ hPa در روز صفر می‌رسد. پس از آن پُرفشار سیبری وارد مرحله تضعیف می‌شود (از روز صفر تا روز +۴) و طی آن پُرفشار مرکزی به تدریج کاهش می‌یابد و به ۱۰۴۰ hPa در روز +۴ می‌رسد. همچنین، در این مرحله، پُرفشار سیبری بسط می‌یابد و محور گسترش آن نیز نسبت به مرحله تقویت

جدول ۱ مقادیر میانگین شاخص مداری ۲۵ مورد از قوی‌ترین رویدادهای پُرفشار سیبری در دوره مورد بررسی بر حسب هکتوپاسکال در مراحل تقویت (از روز -۴ تا +۰) و تضعیف (از روز +۰ تا +۴). برای تعریف شاخص مداری به متن مراجعه شود.

روز	-۴	-۳	-۲	-۱	۰	+۱	+۲	+۳	+۴
مقدار شاخص	-۸/۸۳	-۱۰/۹۷	-۱۶/۷۶	-۲۳/۲۱	-۲۳/۱۰	-۱۷/۱۴	-۱۱/۵۰	-۹/۵۴	-۵/۳۷



شکل ۱. تحول زمانی میانگین فشار تراز دریا (ستون سمت راست) برحسب هکتوپاسکال برای ۲۵ مورد از قوی ترین رویدادهای پُرفشار سیبری. بازه پربندی برای فشار تراز دریا ۴ hPa و برای بی هنجاری های آن ۲ hPa است.

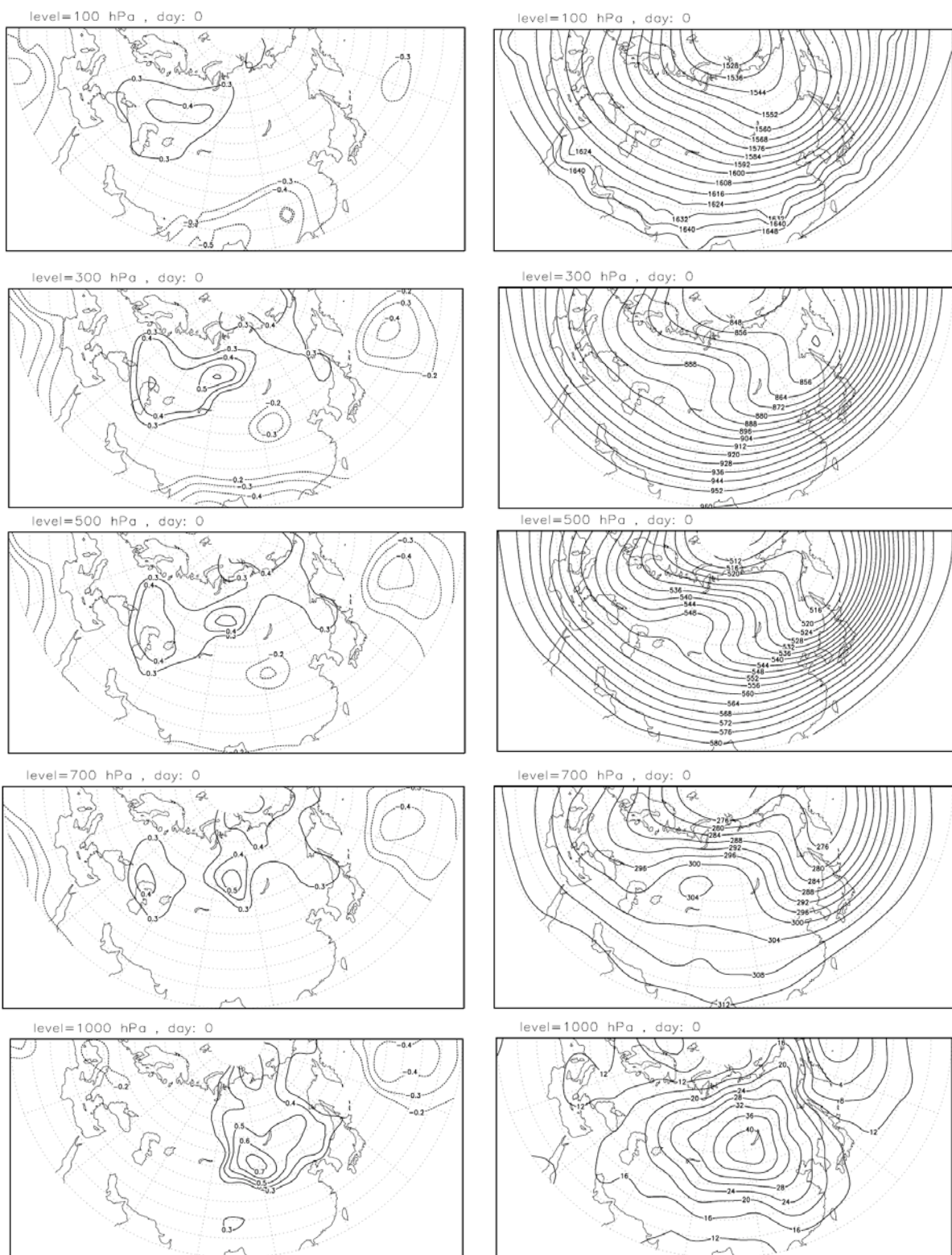
ژئوپتانسیلی در بخش پادجريانسوی منطقه مرکزی پُرفشار و تقویت ناوه در بخش جريانسوی آن هستیم. همچنین با توجه به میانگین ارتفاع ژئوپتانسیلی در شکل ۲، دیده می شود که با افزایش ارتفاع، یک قطار موج راسی در وردسپهر فوقانی شکل می گیرد، به طوری که یک ناوه آن در بخش جريانسو و یک پشتہ آن در بخش پادجريانسوی منطقه مرکزی پُرفشار سیبری قرار دارد. از آنجا که این قطار موج مربوط به نیمه بالایی وردسپهر است، می توان از آن با عنوان موج راسی شباهیستای بیرونی(External quasi-stationary Rossby wave) (تاكاها و ناكامورا، ۲۰۰۵) یاد کرد. چنین ساختار در همه مراحل تقویت پُرفشار سیبری مشاهده می شود که در ادامه آن را مورد بررسی بیشتر قرار می دهیم.

برای بررسی تحول زمانی قطار موج راسی فوق، میانگین ارتفاع ژئوپتانسیلی و بی هنجاری های آن در تراز ۲۵۰ hPa برای مراحل تقویت و تضعیف ۲۵ مورد رویداد بسیار قوی پُرفشار سیبری در شکل ۳ نشان داده شده است. با توجه به شکل، یک قطار موج شباهیستای راسی دیده می شود که در مراحل تقویت و تضعیف، یک ناوه آن در بخش جريانسوی مرکز پُرفشار وجود دارد و تغییرات آن چندان قابل توجه نیست. اما در بخش پادجريانسوی مرکز پُرفشار سیبری، یک پشتہ ارتفاع ژئوپتانسیلی بند می آید به طوری که شدت آن در مرحله تقویت پُرفشار، به آرامی افزایش می یابد تا اینکه در روز بیشینه فعالیت پُرفشار به بیشینه فعالیت خود می رسد و پس از آن به تدریج تضعیف می شود. این مطلب در مورد بی هنجاری های ارتفاع ژئوپتانسیلی در شکل ۴ نیز صدق می کند. براین اساس، تغییرات بی هنجاری های منفی ارتفاع ژئوپتانسیلی در محل ناوه چندان قابل توجه نیست، اما تغییرات بی هنجاری های مشتبه ارتفاع ژئوپتانسیلی در محل پشتہ چشمگیر است. بنابراین به نظر می رسد که پُرفشار سیبری در دو بخش جريانسو و پاد جريانسوی مرکز آن، دارای دو ساختار

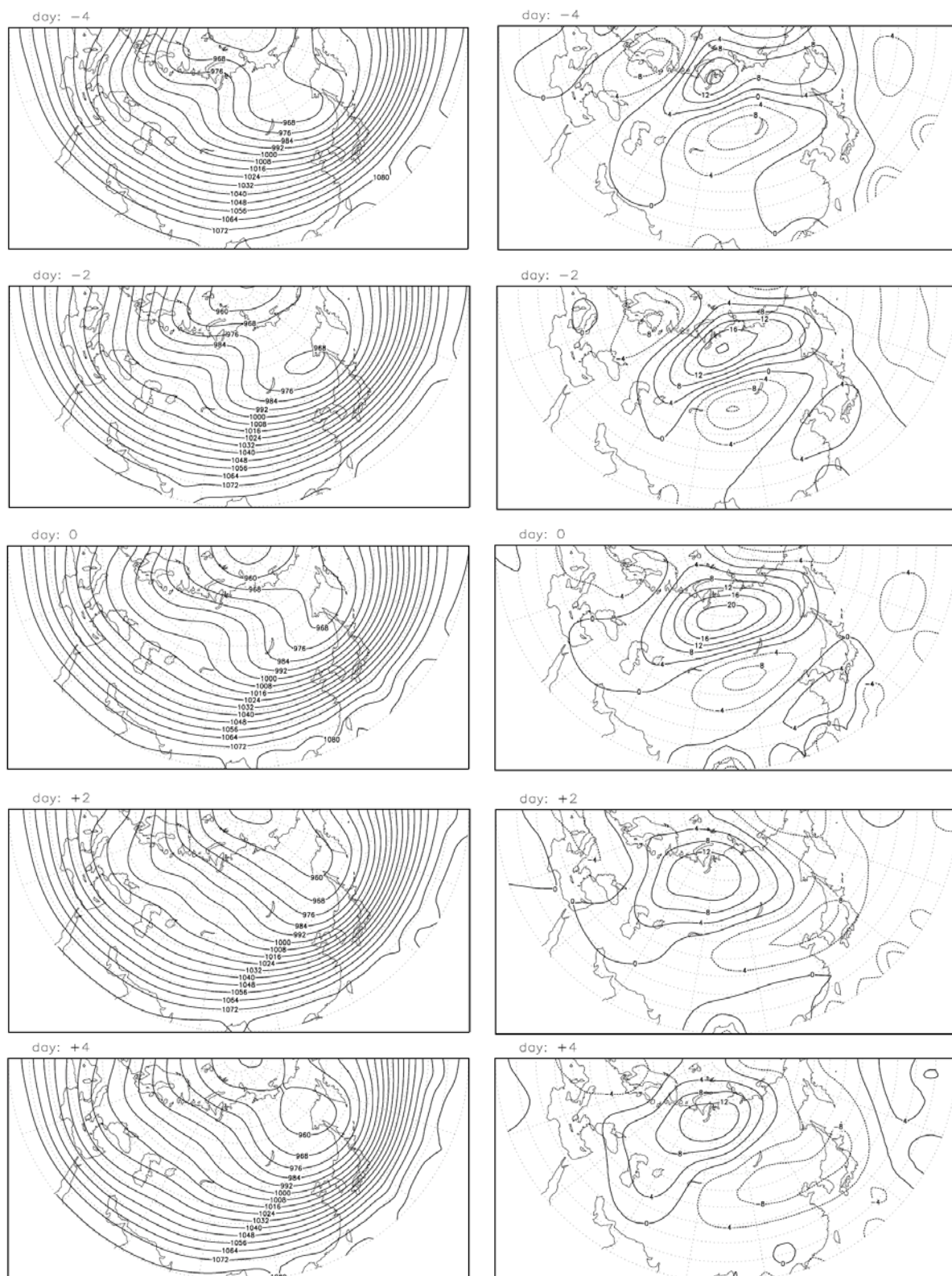
شرق وارد ایران می شود و موجب فرارفت هوای سرد به این منطقه می شود و زبانه دیگری از این هسته، در راستای مداری تا اروپا گسترش می یابد و از این رو بی هنجاری های منفی که در مرحله تقویت در آنجا مشاهده می شد، به تدریج ناپدید می شود.

۲-۳ تحول زمانی موج راسی شباهیستا در وردسپهر فوقانی

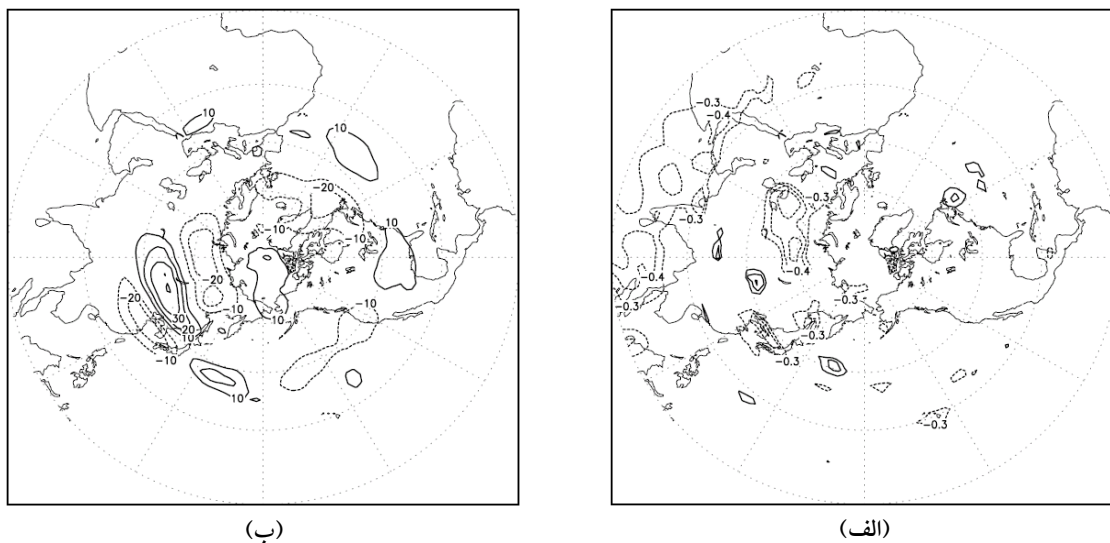
برای بررسی اثرات قائم پُرفشار سیبری، ضریب همبستگی بین میانگین شاخص منطقه ای پُرفشار سیبری و میانگین ارتفاع ژئوپتانسیلی در ترازهای متفاوت جوی برای روز بیشینه فعالیت ۲۵ مورد رویداد بسیار قوی پُرفشار سیبری، محاسبه و نتایج آن در شکل ۲ آورده شده است. در تراز ۱۰۰۰ hPa، همبستگی مثبت و چشمگیری در محدوده منطقه مرکزی پُرفشار دیده می شود. با افزایش ارتفاع تا تراز ۸۵۰ hPa هر چند از مقدار این ضرایب همبستگی کاسته می شود، اما همچنان همبستگی های قوی در منطقه مرکزی پُرفشار وجود دارد. در تراز ۷۰۰ و بالاتر از آن، ضرایب مثبت در بخش پادجريانسوی منطقه مرکزی به چشم می خورد، ولی در بخش جريانسوی آن، ضرایب به تدریج کاهش می یابند و در تراز ۵۰۰ hPa از بین می روند. نکته قابل توجه، وجود ضرایب همبستگی منفی در بخش جريانسوی منطقه مرکزی در تراز ۵۰۰ hPa و همچنین تجزیه شدن ضرایب همبستگی به دو قسمت شامل مقادیر مثبت در بخش پادجريانسو و مقادیر منفی در بخش جريانسو است. این تجزیه شدن در ترازهای ۲۵۰ و ۳۰۰ hPa نیز وجود دارد، ولی از تراز ۲۰۰ hPa به بالا، مقادیر منفی به تدریج کاهش می یابند و معنی داری خود را از دست می دهند. به عبارت دیگر، هنگام تقویت پُرفشار سیبری، پشتہ ارتفاع ژئوپتانسیلی در ترازهای پایین وردسپهر و روی محدوده پُرفشار سیبری تقویت می شود؛ اما در سطوح بالاتر جو شاهد تقویت پشتہ ارتفاع



شکل ۲. ضریب همبستگی بین میانگین شاخص منطقه‌ای پُرسشار سیبری و میانگین ارتفاع ژئوتانسیلی در ترازهای متفاوت (ستون سمت چپ) همراه با میدان میانگین ارتفاع ژئوتانسیلی بر حسب دکامتر در همان ترازها (ستون سمت راست) برای ۲۵ مورد از قوی‌ترین رویدادهای پُرسشار سیبری. ترتیب ترازها از پایین به بالا ۱۰۰۰، ۷۰۰، ۵۰۰، ۳۰۰ و ۱۰۰ hPa است و ضرایب همبستگی در سطح اعتماد ۹۵ درصد رسم شده است.



شکل ۳. تحول زمانی میانگین ارتفاع ژئوپتانسیلی در تراز ۲۵۰ hPa (ستون سمت چپ) و بی هنجاری‌های آن (ستون سمت راست) برای ۲۵ مورد از قوی‌ترین رویدادهای پُرفشار سیبری در دوره مورد بررسی. بازه پریندی برای ارتفاع ژئوپتانسیلی ۸ دکامتر و برای بی هنجاری‌های آن ۴ دکامتر است.



شکل ۴. (الف) ضریب همبستگی بین میانگین شاخص منطقه‌ای پُرفشار سیبری و تراز فشاری وردایست و (ب) بی‌هنگاری‌های فشار سطح وردایست نسبت به میانگین بلندمدت زمستانی آن در روز بیشینه فعالیت ۲۵ رویداد بسیار قوی پُرفشار سیبری. در شکل ب، ضرایب همبستگی در سطح اعتماد ۹۵ درصد رسم شده است.

می‌خورد. بنابراین انتظار می‌رود که هنگام تقویت پُرفشار سیبری، تراز فشاری وردایست دچار نوسان شود. مطابق شکل ۴-ب که بی‌هنگاری‌های فشار وردایست نسبت به میانگین بلندمدت را نشان می‌دهد، در بخش جریان‌سوی منطقه مرکزی پُرفشار، فشار تراز وردایست افزایش (یا ارتفاع آن کاهش) و در بخش پادجریان‌سوی آن، فشار کاهش (یا ارتفاع آن افزایش) می‌یابد. برای مشاهده بهتر این موضوع، تغییرات میانگین بلندمدت زمستانه فشار تراز وردایست و همچنین میانگین آن برای روز بیشینه فعالیت ۲۵ مورد رویداد بسیار قوی پُرفشار سیبری نسبت به طول جغرافیایی در شکل ۵-الف آورده شده است. شکل ۵-ب مسیر نمایه قائم مربوط به شکل ۵-الف را نشان می‌دهد. از ویژگی‌های مهم این مسیر آن است که از مرکز منطقه پُرفشار سیبری (۹۰ درجه شرقی) می‌گذرد و مراکز بی‌هنگاری‌های مثبت و منفی فشار تراز دریا، ارتفاع ژئوپتانسیلی تراز 250 hPa و فشار وردایست را به یکدیگر متصل می‌کند. به علاوه، این مسیر در امتداد بردار فعالیت موج (که بعداً بررسی خواهد شد) و در نتیجه در راستای

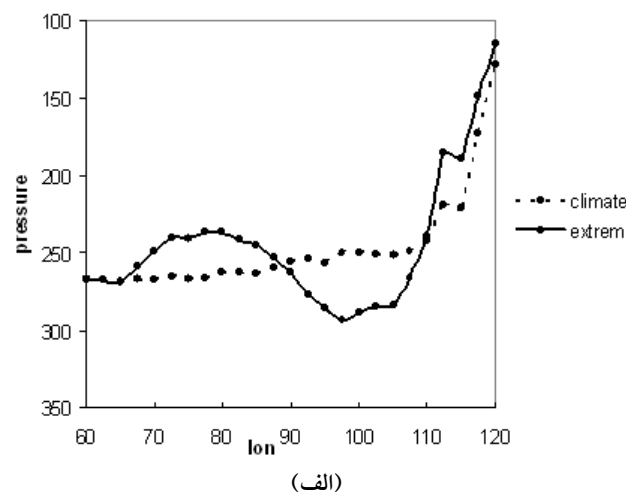
متفاوت است که در بخش‌های بعد با جزئیات بیشتری به این موضوع پرداخته خواهد شد.

۳-۳ نوسان وردایست

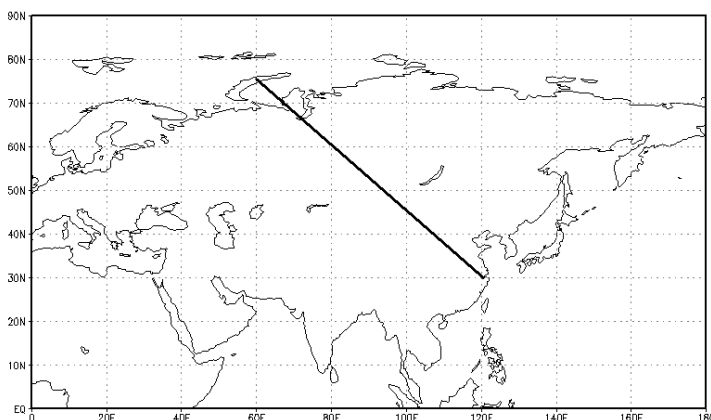
در بخش قبل روشن شد که پُرفشار سیبری فقط یک سامانه محدود به سطح زمین نیست و می‌تواند با میدان‌های هواشناختی بالای وردسپهر، نظری ارتفاع ژئوپتانسیلی سطوح فشاری نیز در ارتباط باشد. در این قسمت رفتار یکی دیگر از میدان‌های مهم هواشناختی در بالای جو، یعنی وردایست، هنگام تقویت پُرفشار سیبری مورد بررسی قرار می‌گیرد. برای بررسی اثر تقویت پُرفشار سیبری روی تراز فشاری وردایست، ضریب همبستگی بین میانگین تراز فشاری وردایست و شاخص منطقه‌ای پُرفشار سیبری در روز بیشینه فعالیت ۲۵ مورد از رویدادهای بسیار قوی این پُرفشار در دوره مورد بررسی در شکل ۴-الف نشان داده شده است. در این شکل، ضرایب همبستگی مثبت در بخش جریان‌سوی منطقه مرکزی پُرفشار سیبری و ضرایب همبستگی منفی در بخش پادجریان‌سوی آن به چشم

به طوری که در سمت راست طول جغرافیایی ۹۰ درجه شرقی، یک فرورفتگی تا حدود تراز hPa ۳۰۰ و در سمت چپ آن یک برآمدگی تا فشار hPa ۲۳۵ دیده می‌شود. مقایسه بین شکل‌های ۳ و ۴ حاکی از آن است که در هنگام تقویت پُرفشار سیبری، بخش‌های جریان سو و پادجریان سوی منطقه مرکزی آن، دارای دو رفتار جداگانه هستند. مطابق شکل ۳، تقویت پشتۀ ارتفاع ژئوپتانسیلی در تراز ۲۵۰ hPa و یا بی‌هنگاری‌های مثبت ارتفاع در بخش پادجریان سوی منطقه مرکزی پُرفشار سیبری، بسیار

انتشار موج راسی شبه‌ایستای موجود در بالای جوّ است. با توجه به شکل ۵-الف، در نمودار تغییرات میانگین بلندمدت زمستانه فشار تراز وردایست، تغییرات خاصی در طرفین منطقه مرکزی پُرفشار سیبری به چشم نمی‌خورد و فقط در قسمت انتهایی آن (۱۲۰ درجه شرقی) یک بیشینه فشار وجود دارد که مربوط به موقعیت اقلیمی فشار وردایست است. اما در نمودار مربوط به روز بیشینه فعالیت ۲۵ مورد از رویدادهای بسیار قوی پُرفشار سیبری، علاوه بر وجود بیشینه فوق، یک نوسان نیز مشاهده می‌شود؛



(الف)



(ب)

شکل ۵. الف) تغییرات میانگین بلندمدت زمستانه فشار تراز وردایست نسبت به طول جغرافیایی (نقطه چین) همراه با میانگین مربوط به روز بیشینه فعالیت ۲۵ مورد از قوی‌ترین رویدادهای پُرفشار سیبری در دوره مورد بررسی (خط پُر) و ب) مکان جغرافیایی نمایه قائم در شکل الف.

بی‌亨جاری‌های منفی به وجود می‌آید. یک بیشینه مقدار از بی‌亨جاری‌های منفی ارتفاع ژئوپتانسیلی نیز در حدود ترازهای ۳۰۰ و ۲۵۰ hPa به چشم می‌خورد. با توجه به شکل ۶-الف مشاهده می‌شود که در ترازهای فوقانی وردسپهر یک قطار موج راسبی در اطراف پُرفشار سیبری وجود دارد، به طوری که در بخش جریان‌سوی مرکز پُرفشار، بی‌亨جاری‌های منفی و در بخش پادجریان‌سوی آن، بی‌亨جاری‌های مثبت ارتفاع ژئوپتانسیلی است. بنابراین می‌توان نتیجه گرفت که ساختار بخش جریان‌سوی منطقه مرکزی پُرفشار سیبری، با توجه به وجود پُرفشار واقع در سطح زمین و کم ارتفاع در بالای جو، یک ساختار گرمایی است. یکی از عوامل موثر در هسته سرد این پُرفشار گرمایی، فرارفت هوای سرد ناشی از جریانات شمالی در این منطقه است. از سوی دیگر، بخش پادجریان‌سوی مرکز پُرفشار سیبری نیز با توجه به وجود پُرفشار در سطح زمین و ارتفاع زیاد در بالای جو، دارای ساختار دینامیکی است. از عوامل موثر در هسته گرم این پُرفشار دینامیکی، فرارفت هوای گرم ناشی از جریانات جنوبی واقع در شاخه غربی پُرفشار سیبری روی این منطقه است.

۴-۴ ساختار کژفشاری

نمایه قائم میانگین دمای پتانسیلی همراه با میدان باد افقی برای روز بیشینه فعالیت ۲۵ مورد رویداد بسیار قوی پُرفشار سیبری در شکل ۶-ج نشان داده شده است. مطابق شکل، فرارفت افقی هوای سرد شدیدی در سطوح زیرین و در بخش جریان‌سوی مرکز پُرفشار مشاهده می‌شود. با افزایش ارتفاع، این فرارفت هوای سرد به تدریج کاهش می‌یابد و در حدود تراز ۳۰۰ hPa به صفر می‌رسد و پس از آن، در بالاتر از تراز ۲۰۰ hPa یک فرارفت هوای گرم قابل توجه به چشم می‌خورد. عکس این فرارفت‌ها و باشدت ضعیفتر در بخش پادجریان‌سوی مرکز پُرفشار وجود

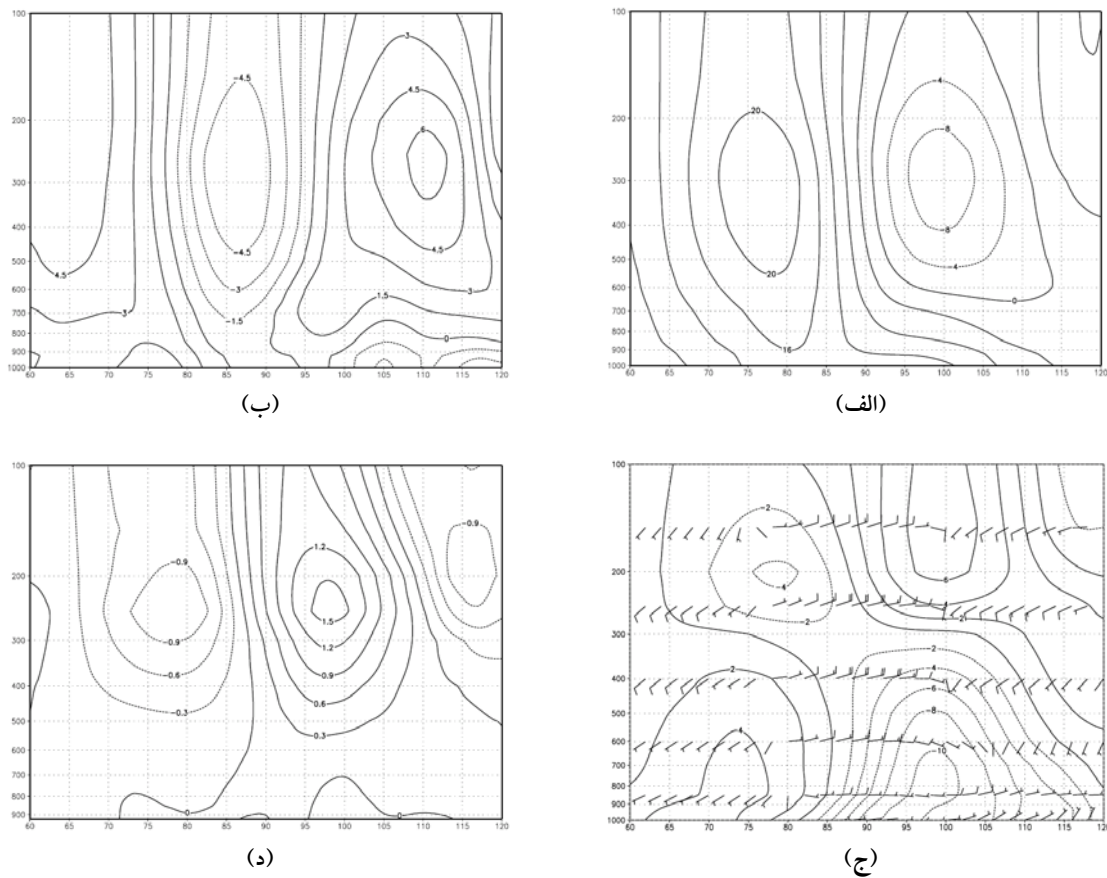
شدیدتر از تقویت ناوه ارتفاع ژئوپتانسیلی و یا بی‌亨جاری‌های منفی ارتفاع در بخش جریان‌سوی آن است. از سوی دیگر، با توجه به شکل ۶-ب، کاهش ارتفاع وردایست که در بخش جریان‌سوی منطقه مرکزی پُرفشار سیبری مشاهده می‌شود، شدیدتر از افزایش ارتفاع وردایست در بخش پادجریان‌سوی آن است. بنابراین به نظر می‌رسد که به علت فقدان تقارن، بخش جریان‌سوی بیشتر متأثر از ناوه واقع در غرب اقیانوس آرام و همچنین حرکات چرخندی پوش‌سپهری ناشی از تاشدگی وردایست (Tropopause folding) است. در حالی که بخش پادجریان‌سوی، متأثر از پشتۀ بلاک شده قطار موج راسبی و در نتیجه حرکات واچرخندی ناشی از آن است.

۴ ساختار قائم پُرفشار سیبری

در این بخش، برخی از ویژگی‌های ساختار قائم پُرفشار سیبری در روز بیشینه فعالیت آن، از دیدگاه ترمودینامیکی و دینامیکی مورد بررسی قرار می‌گیرد. برای این منظور، نمایه قائم انتخابی در راستای مسیری است که در شکل ۵-ب نشان داده شده است.

۴-۱ ساختار گرمایی و دینامیکی

نمایه قائم میانگین بی‌亨جاری‌های ارتفاع ژئوپتانسیلی برای روز بیشینه فعالیت ۲۵ مورد رویداد بسیار قوی پُرفشار سیبری در شکل ۶-الف آورده شده است. با توجه به شکل، روی منطقه مرکزی پُرفشار سیبری و طرفین آن در سطوح زیرین جو، بی‌亨جاری‌های مثبت ارتفاع ژئوپتانسیلی تا حدود تراز ۷۰۰ hPa وجود دارد. با افزایش ارتفاع، مشاهده می‌شود که بی‌亨جاری‌های مثبت در بخش پادجریان‌سوی مرکز پُرفشار همچنان وجود دارد و در حوالی تراز ۳۰۰ و ۲۵۰ hPa به بیشینه مقدار خود می‌رسد. اما در بخش جریان‌سوی مرکز پُرفشار، با افزایش ارتفاع، بی‌亨جاری‌های مثبت از بین می‌رود و به تدریج



شکل ۶. نمایه قائم ساختار پُرفشار سیبری در روز بیشینه فعالیت ۲۵ مورد از قوی‌ترین رویدادهای آن، براساس بی‌هنگاری‌های: (الف) ارتفاع ژئوپتانسیلی، (ب) مولفه نصف‌النهاری میدان باد، (ج) دمای پاتانسیلی و میدان باد افقی و (د) تاوایی پاتانسیلی. بازه پرینتی در شکل‌های الف تا د به ترتیب برابر با ۴ متر، ۱/۵ متر بر ثانیه، ۲ درجه کلوین و $10^{-6} m^2 s^{-1} K kg^{0.3}$ PVU است (IPVU). در این شکل‌ها محور افقی معرف طول جغرافیایی و محور قائم معرف فشار بر حسب هکتوپاسکال است و مکان نمایه قائم در راستای مسیری است که در شکل ۵ ب نشان داده شده است.

آن افروده می‌شود که این از ویژگی‌های جوّ فشارورده همارز (Equivalent barotropic) است.

۳-۴ ساختار گردش میدان باد
نمایه قائم میانگین مولفه نصف‌النهاری سرعت باد برای روز بیشینه فعالیت مربوط به ۲۵ مورد رویداد بسیار قوی پُرفشار سیبری در شکل ۶-ب آورده شده است. با توجه به شکل، در سطوح زیرین وردسپهر، در منطقه مرکزی پُرفشار سیبری سرعت نصف‌النهاری قابل توجهی وجود ندارد؛ اما در بخش جریان‌سوى مرکز پُرفشار (۱۰۵ درجه شرقی)، مقادیر منفی که نشان‌دهنده جریانات شمالی و در

دارد، به‌طوری‌که در این منطقه، فرارفت هوای گرم در سطح زمین و فرارفت هوای سرد در سطوح فوقانی جوّ دیده می‌شود. نکته قابل توجه دیگر آنکه در طرفین بی‌هنگاری سرد سطح زمین (۹۰ درجه شرقی)، شیوه افقی دمایی شدیدی وجود دارد که طبق رابطه باد گرمایی، چینش قائم باد شدیدی به همراه خواهد داشت. با توجه به شکل، در بخش جریان‌سوى بی‌هنگاری دمایی سرد سطح زمین، تغییر جهت باد با ارتفاع به صورت چرخندی است که نشانگر جوّ کثrfشار است. همچنین در بخش پادجریان‌سوى بی‌هنگاری دمای سرد سطح زمین، جهت باد با افزایش ارتفاع تغییر نمی‌کند، فقط به تدریج بر مقدار

درجه سلسیوس در روز سردتر و در جهت پادجیریانسوی آن، با آهنگ $1/5$ درجه سلسیوس در روز گرمتر می‌شود. این موضوع باعث می‌شود تا لکه سرد در جهت جنوب شرق توسعه یابد (شکل ۷-ب). این وضعیت در روزهای بعدی نیز تکرار می‌شود.

حال به بررسی اثر فرارفت افقی دما طی فرایند تقویت پُرفشار سیبری پرداخته می‌شود. در این راستا، ابتدا میدان‌های دما و باد افقی (T و U) به صورت مجموع دو جمله شامل حالت پایه و پریشیدگی نسبت به حالت پایه در نظر گرفته شده و می‌توان رابطه زیر را برای فرارفت افقی دما نوشت:

$$-\mathbf{U} \cdot \nabla T = -\bar{\mathbf{U}} \cdot \nabla \bar{T} - \bar{\mathbf{U}} \cdot \nabla T' - \mathbf{U}' \cdot \nabla \bar{T} - \mathbf{U}' \cdot \nabla T', \quad (3)$$

در اینجا از میانگین زمستانی بلندمدت میدان‌های دما و باد افقی در طی دوره 60 ساله در حکم حالت پایه استفاده شده و پریشیدگی این کمیت‌ها (مربوط به 25 مورد رویداد بسیار قوی پُرفشار سیبری) نسبت به میانگین بلندمدت به دست آمده است. مقایسه بین مقادیر محاسبه شده هریک از جمله‌های موجود در سمت راست رابطه (۳) نشان می‌دهد که جمله سوم، یعنی فرارفت دمای حالت پایه براثر پریشیدگی میدان باد، از نظر بزرگی بر سایر جملات غالب است. از این‌رو تحول زمانی میدان پریشیدگی باد همراه با دمای حالت پایه (میانگین بلندمدت) در تراز 850 hPa در شکل‌های ۷-ج و ۷-د و همچنین فرارفت دمای حالت پایه براثر پریشیدگی میدان باد در همین تراز در شکل‌های ۷-ه و ۷-و آورده شده است. با توجه به شکل‌ها، دیده می‌شود که جریانات شمالی ناشی از بی‌هنجری‌های واچرخندی میدان باد واقع در شرق بی‌هنجری‌های منفی دما، موجب فرارفت هوای سرد در جهت جنوب شرق آن شده است و سبب می‌شود که لکه سرد به تدریج در این جهت بسط یابد. در نتیجه، زمانی که پُرفشار سیبری در حال تقویت است، منطقه‌ی

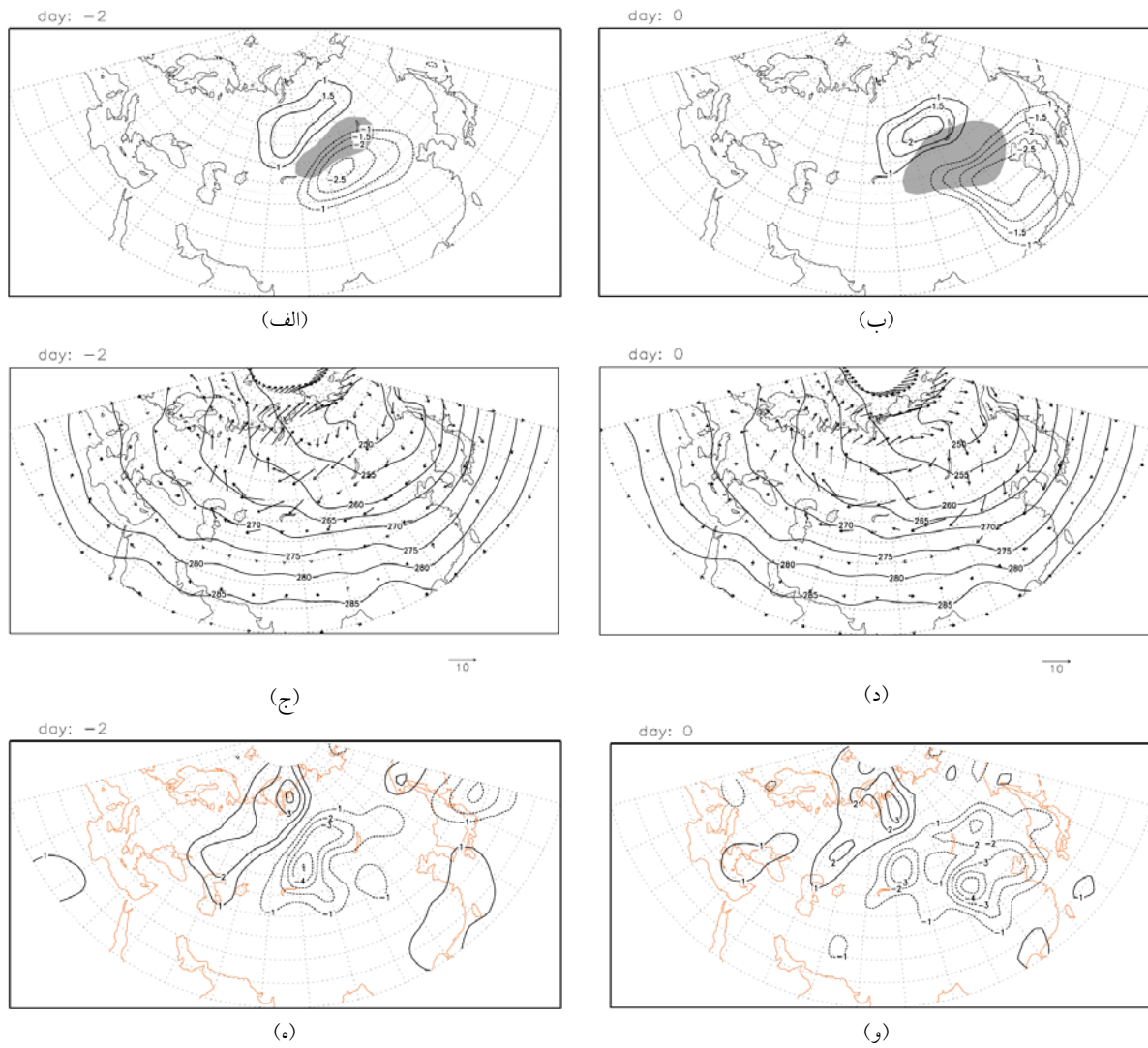
بخش پادجیریانسوی آن (۷۵ درجه شرقی)، مقادیر مثبت که نشانگر جریانات جنوبی است، مشاهده می‌شود. بدین ترتیب یک واچرخند حول مرکز پُرفشار شکل می‌گیرد که طبق انتظار، جریانات شمالی واقع در شاخه شرقی آن از جریانات جنوبی واقع در شاخه غربی آن، قوی‌تر است. به علاوه، در این شکل دیده می‌شود که با افزایش ارتفاع و در بالای جو، یک قطار موج شامل مقادیر مثبت و منفی از بی‌هنجری مولفه نصف‌النهاری باد به وجود می‌آید. در حدود تراز 300 hPa و بر روی منطقه مرکزی پُرفشار سیبری، مقادیر منفی معرف جریانات شمالی و در طرفین مرکز پُرفشار، هم در بخش جریان سو و هم در بخش پادجیریانسو، بی‌هنجری‌های مثبت معرف جریانات جنوبی به چشم می‌خورد. به عبارت دیگر، هرچند پُرفشار سیبری در حکم یک واچرخند سطح زمین شناخته شده است، اما ساختار میدان باد آن در بالای جو، به گونه‌ای است که یک مرکز بی‌هنجری چرخندی در بخش جریان سو و یک مرکز بی‌هنجری واچرخندی در بخش پادجیریانسوی مرکز پُرفشار وجود دارد. با مقایسه شکل‌های ۶-الف و ۶-ب دیده می‌شود که مراکز بی‌هنجری‌های چرخندی و واچرخندی ذکر شده، در بالای جو، کاملاً بر مراکز بی‌هنجری‌های مثبت و منفی ارتفاع ژئوپتانسیلی موجود در همان سطح منطبق است.

۵ تقویت ترمودینامیکی پُرفشار سیبری

تحول زمانی میانگین بی‌هنجری‌های دما در تراز 850 hPa همراه با گرایش دما در این تراز برای مرحله تقویت 25 مورد از قوی‌ترین رویدادهای پُرفشار سیبری در شکل‌های ۷-الف و ۷-ب نشان داده شده است. نواحی سایه‌دار در این شکل، نشانگر بی‌هنجری‌های دمایی کمتر از منهای 6 درجه سلسیوس، لکه‌های سرد (Cold spot) است. مشاهده می‌شود که در روز -2 ، دمای هوا به طور مشخص در جهت جریان سوی لکه سرد با آهنگ تقریبی منهای $2/5$

آسیا دارد. از سوی دیگر، شاخه جریانات جنوبی بی‌هنچاری‌های واچرخندی میدان باد، موجب فرارفت هوای گرم در بخش پادجیریان‌سوی لکه سرد، از شرق دریای سیاه و شمال دریای مازندران تا شمال اروپا می‌شود.

شامل بی‌هنچاری‌های منفی دما به تدریج در جهت جنوب شرق توسعه پیدا می‌کند. از این‌رو، این جمله نقش موثری در توسعه منطقه شامل بی‌هنچاری‌های منفی دما و در نتیجه تقویت و حرکت پُرفشار در جهت جنوب شرق لکه سرد و نفوذ تدریجی آن به داخل عرض‌های میانی جنوب شرق



شکل ۷. (الف) و (ب) میانگین بی‌هنچاری‌های دما و گرایش زمانی آن در تراز 850hPa برای دو روز قل و همچنین در روز بیشینه فعالیت ۲۵ مورد از قوی‌ترین رویدادهای پُرفشار سیبری در دوره مورد بررسی. بی‌هنچاری‌های دمای کمتر از منهای ۶ درجه سلسیوس به صورت سایه‌دار مشخص شده و بازه پریندی در گرایش زمانی دما $0/5^{\circ}\text{C}$ درجه سلسیوس بر روز است. (ج) و (د) میدان پریشیدگی باد همراه با دمای حالت پایه (برحسب درجه کلوین) و (ه) و (د) فرارفت دمای حالت پایه با پریشیدگی میدان باد (با پریندی‌های به فواصل یک درجه سلسیوس بر روز) در تراز 850hPa مقیاس بردارهای باد در گوشه پایین و سمت راست شکل‌ها نشان داده شده است.

مولفه افقی این بُردار به نام بُردار W، برای امواج راسی (Quasi-geostrophic stationary گرد) ایستای شبزمین گرد (Rossby wave) که روی یک جریان زمینه ایستا سوار هستند، برابر است با (تاكایا و ناکامورا، ۲۰۰۱):

$$\mathbf{W} = \frac{p \cos \phi}{2|\mathbf{U}|} \begin{bmatrix} \frac{U}{a^2 \cos^2 \phi} \left[\left(\frac{\partial \psi'}{\partial \lambda} \right)^2 - \psi' \frac{\partial^2 \psi'}{\partial \lambda^2} \right] + A \\ \frac{U}{a^2 \cos^2 \phi} \left[\frac{\partial \psi'}{\partial \lambda} \frac{\partial \psi'}{\partial \phi} - \psi' \frac{\partial^2 \psi'}{\partial \lambda \partial \phi} \right] + B \end{bmatrix} \quad (5)$$

$$A = \frac{V}{a^2 \cos \phi} \left[\frac{\partial \psi'}{\partial \lambda} \frac{\partial \psi'}{\partial \phi} - \psi' \frac{\partial^2 \psi'}{\partial \lambda \partial \phi} \right]$$

$$B = \frac{V}{a^2} \left[\left(\frac{\partial \psi'}{\partial \phi} \right)^2 - \psi' \frac{\partial^2 \psi'}{\partial \phi^2} \right],$$

که λ و ϕ به ترتیب برابر با طول و عرض جغرافیایی، U پریشیدگی تابع جریان، V مولفه‌های مداری و a نصف‌النهاری جریان زمینه \mathbf{U} ، p فشار و ψ' شاعع زمین است. در این پژوهش، از میانگین بلندمدت زمستانی در حکم جریان زمینه استفاده می‌شود و امواج راسی شبیه‌ایستا با محاسبه بی‌هنگاری‌های ارتفاع ژئوپتانسیلی در هریک از مراحل تقویت و یا تضعیف پُرفشار سیبری، نسبت به میانگین بلندمدت آن به دست می‌آیند. برای اساس پریشیدگی تابع جریان ψ' در رابطه فوق، برحسب بی‌هنگاری ارتفاع ژئوپتانسیلی ψ' از رابطه زیر محاسبه می‌شود:

$$\psi' = \frac{g}{f(\phi)} \varphi', \quad (6)$$

تحول زمانی میانگین مولفه افقی بُردار شار فعالیت موج (W) همراه با بی‌هنگاری‌های تابع جریان در تراز ۲۵۰ hPa مربوط به ۲۵ مورد از رویدادهای بسیار قوی پُرفشار سیبری، در شکل ۸ آورده شده است. این شکل انتشار یک بسته موج راسی را که از مناطق شمال غرب اروپا سرچشمه می‌گیرد، نشان می‌دهد. همچنین در این شکل مشخص است پشتی‌ای که در منطقه پادجریان‌سوی منطقه مرکزی پُرفشار سیبری مشاهده می‌شود، در حکم بخشی از همین قطار موج راسی است. در این تحول زمانی، ابتدا (روز ۴) یک مرکز بی‌هنگاری منفی ارتفاع

۶ تقویت دینامیکی پُرفشار سیبری

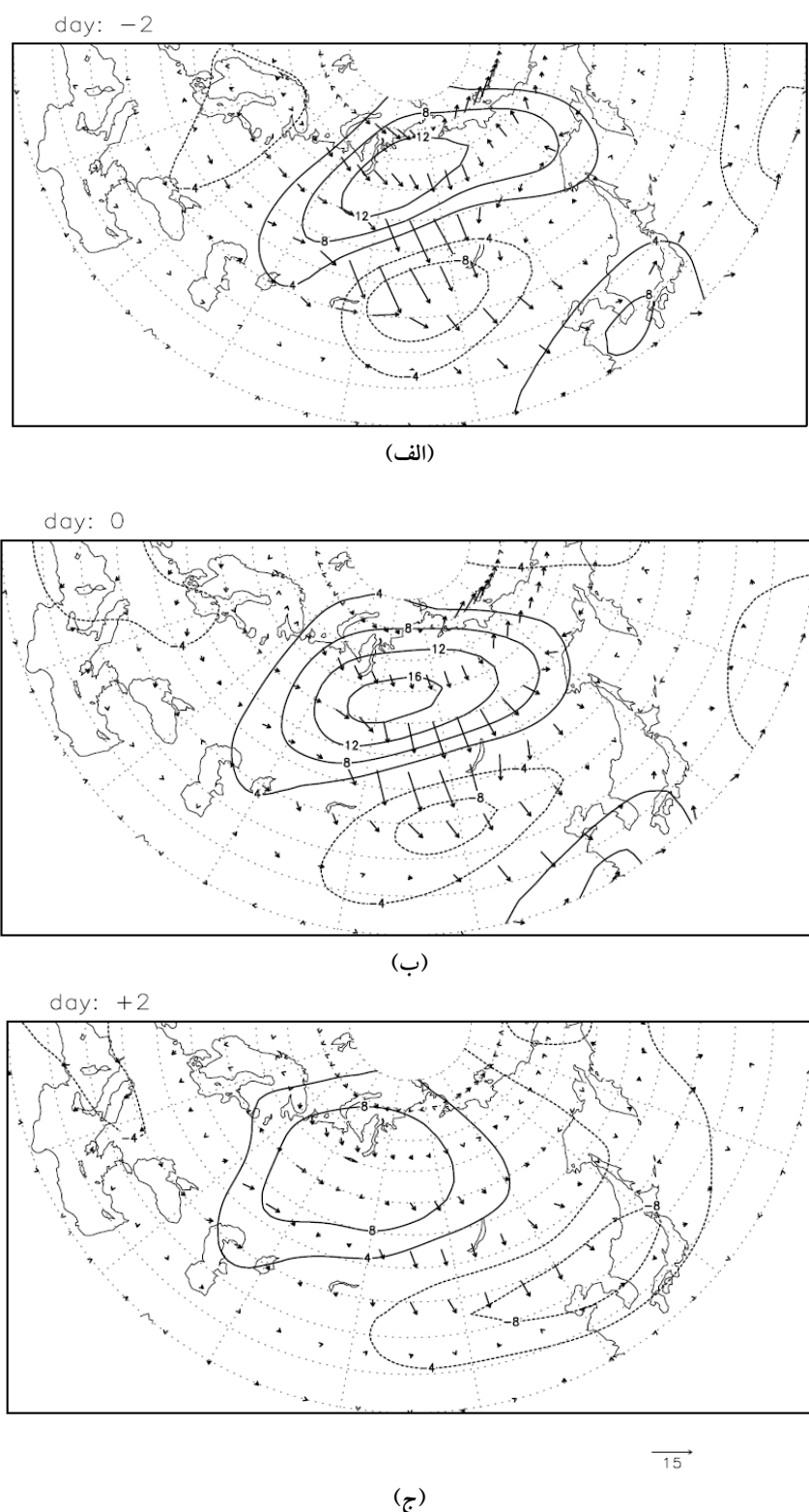
۱-۶ بُردار شار فعالیت موج

برای اغتشاش‌های کم‌دامنه‌ای که روی یک جریان زمینه ایستا سوار هستند، نظریه تعمیم یافته الیاسین-پالم و رابطه پایستاری زیر را می‌توان نوشت (اندرو و مک‌اینتایر، ۱۹۷۶):

$$\frac{\partial \mathbf{A}}{\partial t} + \nabla \cdot \mathbf{F} = \mathbf{D}, \quad (4)$$

که \mathbf{A} و \mathbf{F} به ترتیب چگالی فعالیت موج و بُردار شار فعالیت موج (Wave activity flux) است. کمیت \mathbf{D} اثرات اصطکاک و فرایندهای دررو را نشان می‌دهد که برای امواج پایستار برابر با صفر است. \mathbf{A} و \mathbf{D} مانند \mathbf{F} تابعی از کمیت‌های پیچکی هستند.

واگرایی بُردار \mathbf{F} محلی را که بسته موج از آنجا منتشر و همگرایی آن محلی را که انرژی موج در آنجا میرا و یا جذب می‌شود، نشان می‌دهد. بنابراین محاسبه این کمیت در شناخت چشمها و یا چاهک‌های انرژی امواج جوی اهمیت شایانی دارد. پس از کار اندرو و مک‌اینتایر (۱۹۷۶)، شار الیاسین-پالم (Eliassen-Palm flux) به طور فزاینده‌ای در تحلیل انتشار امواج راسی مورد استفاده قرار گرفته است. این شار، یک کمیت میانگین‌گیری مداری است که می‌تواند فقط به فهم انتشار دو بعدی امواج راسی در صفحه نصف‌النهاری کمک کند. مولفه نصف‌النهاری آن با منفی شار تکانه غربی قطب‌سو و مولفه قائم آن با شار گرمای قطب‌سو متناسب است. پلام (۱۹۸۵) این کار را توسعه داده و شار فعالیت موج را برای اغتشاش‌های خطی شبزمین گرد واقع بر یک جریان مداری به دست آورد. فرض مداری بودن جریان زمینه این محدودیت را به دنبال داشت که صرفاً امواج ایستا را در بر می‌گیرد. در ادامه، تاكایا و ناکامورا (۲۰۰۱) با تعمیم کار پلام و با در نظر گرفتن مولفه نصف‌النهاری جریان زمینه، رابطه‌ای را برای بُردار شار فعالیت موج به دست آورده‌اند که هم برای امواج مانا و هم برای پیچک‌های گذرای شبزمین گرد به کار می‌رود.



شکل ۸ (الف) تا (ج) تحول زمانی میانگین بردار شار فعالیت موج (\mathbf{W}) و بی‌هنگاری‌های تابع جریان در تراز ۲۵۰ hPa به ترتیب از دو روز قبل تا دو روز پس از روز بیشینه فعالیت ۲۵ مورد از قوی‌ترین رویدادهای پُرفشار سیبری در دوره مورد بررسی. بازه پریندی برای بی‌هنگاری‌های تابع جریان $4 \times 10^{-5} m^2 s^{-1}$ بوده و مقیاس بردار \mathbf{W} بر حسب $m^2 s^{-2}$ ، در گوش پایین و سمت راست شکل‌ها نشان داده شده است.

دماه پتانسیلی بیشینه است، واقع شده‌اند (هولتون، ۲۰۰۴). به علاوه مقایسه بین شکل‌های ۶-ج و ۶-د حاکی از آن است که مراکز بی‌هنجری‌های مثبت و منفی تاوایی پتانسیلی به ترتیب بر مراکز بی‌هنجری‌های چرخندی و واچرخندی میدان باد در سطوح فوقانی جوّ منطبق است. بنابراین انتظار می‌رود که این دو مرکز مثبت و منفی بی‌هنجری میدان تاوایی پتانسیلی در سطوح فوقانی جوّ و در طرفین منطقه مرکزی پُرفشار سیبری، با القای بی‌هنجری‌های میدان باد در سطح زمین، در فرارفت افقی دمای میانگین و در نتیجه تحول پُرفشار سیبری موثر باشد (هاسکیتز و همکاران، ۱۹۸۵). از سوی دیگر، بی‌هنجری‌های منفی دمای موجود در سطح زمین (لکه سرد) نیز می‌تواند موجب القای بی‌هنجری‌های واچرخندی میدان باد در سطوح زیرین و فوقانی جوّ شود (هاسکیتز و همکاران، ۱۹۸۵) و از این طریق، هم در تحول قطار موج پُرفشار سیبری در سطح زمین و هم در تحول قطار موج راسی در بالای جوّ اثرگذار باشد.

همان‌طور که در بخش ۵ در باره تراز ۸۵۰ hPa توضیح داده شد، بی‌هنجری‌های واچرخندی میدان باد موجب فرارفت هوای سرد در شرق و فرارفت هوای گرم در غرب بی‌هنجری هوای بسیار سرد (لکه سرد) در سطح زمین و منجر به تقویت و حرکت شرق‌سوی آن می‌شود. همچنین مشاهده شد که بی‌هنجری‌های منفی دما در سطح زمین، موجب تقویت بی‌هنجری‌های واچرخندی میدان باد در سطح زمین و فرارفت‌های آن می‌شود. در نتیجه، این عامل به توسعه لکه سرد سطح زمین و پُرفشار سیبری در جهت جنوب شرق کمک می‌کند و این فرایند به‌طور مداوم تکرار می‌شود. بدین ترتیب اگر به پُرفشار سیبری فقط بهمنزله یک پدیده سطح زمین نگریسته شود، این پُرفشار و لکه سرد سطح زمین، دارای حرکت سریع شرق‌سو است و فرصت لازم برای جفت شدن با امواج راسی سطح فوقانی جوّ را نخواهد داشت. اما از سوی

ژئوپتانسیلی در محدوده ۶۰ درجه شمالی و ۴۰ درجه شرقی و یک مرکز بی‌هنجری مثبت ارتفاع در محدوده ۷۰ درجه شمالی و ۴۰ درجه شرقی دیده می‌شود. در طی مراحل تقویت پُرفشار سیبری، واگرایی بردار W از روی مرکز بی‌هنجری منفی ارتفاع و تقریباً عمود بر پربندهای بی‌هنجری ارتفاع، و همگرایی بردار W روی پشته بند آمده به چشم می‌خورد که موجب تقویت آن می‌شود. این موضوع حاکی از آن است که بردار شار W که از منطقه اروپا-اطلس سرچشمه می‌گیرد، نقش مهمی در تقویت پشته بند آمده واقع در بخش پادجريان‌سوی ناحیه مرکزی پُرفشار سیبری دارد. در طی مراحل تضعیف پُرفشار سیبری، واگرایی بردار W از پشته بند آمده و همگرایی آن روی بی‌هنجری‌های منفی ارتفاع واقع در بخش جریان‌سوی این پشته وجود دارد که در نتیجه‌ی آن، بندالی واقع در بخش پادجريان‌سوی منطقه مرکزی پُرفشار سیبری به تدریج تضعیف و میرا می‌شود.

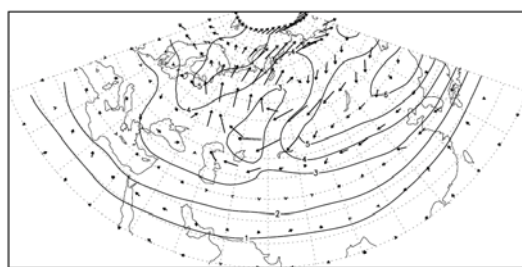
۲-۶ برهم‌کنش پُرفشار سیبری با امواج سطح فوقانی جوّ از دیدگاه تاوایی پتانسیلی

نمایه قائم بی‌هنجری‌های میدان تاوایی پتانسیلی در امتداد مسیر نشان داده شده در شکل ۵-ب برای روز بیشینه فعالیت ۲۵ مورد رویداد بسیار قوی پُرفشار سیبری در شکل ۶-د آورده شده است. در این شکل، یک قطار موج از بی‌هنجری‌های مثبت و منفی تاوایی پتانسیلی در سطح بالای وردسپهر و در حدود تراز ۲۵۰ hPa به چشم می‌خورد، به‌طوری که یک مرکز بی‌هنجری مثبت در بخش جریان‌سو و یک مرکز بی‌هنجری منفی در بخش پادجريان‌سوی مرکز پُرفشار سیبری وجود دارد. مقایسه این شکل و شکل‌های ۶-الف و ۶-ب نشان می‌دهد که این مراکز مثبت و منفی بی‌هنجری‌های تاوایی پتانسیلی، به ترتیب در محل بی‌هنجری‌های منفی و مثبت ارتفاع ژئوپتانسیلی و همچنین در مکان‌هایی که گرادیان قائم

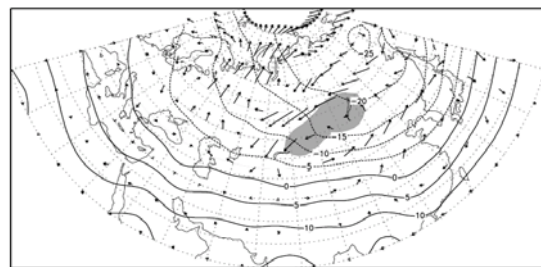
مرحله تقویت پُرفشار سیبری، موجب کُند شدن انتقال شرق‌سی و لکه سرد سطح زمین می‌شود و ازین‌رو امکان جفت شدن پُرفشار سیبری با موج راسی سطوح فوقاری جوّ‌فراهم می‌شود.

همچنین انتظار می‌رود که بی‌هنجری‌های القا شده تاوایی پتانسیلی در سطوح فوقاری وردسپهر ناشی از بی‌هنجری‌های منفی دمای سطح زمین، نقش موثری در تحول بسته موج راسی سطوح فوقاری داشته باشد. برای نشان دادن این موضوع، با توجه به شکل ۹-ب مشاهده می‌شود که جریان‌های جنوبی مربوط به بی‌هنجری‌های میدان باد در تراز ۲۵۰ hPa ناشی از القای تراز ۸۵۰ hPa می‌تواند موجب فرارفت و اچرخندی تاوایی در مکان پشتۀ بند آمده شود. از طرف دیگر، جریان‌های شمالی القا شده در تراز ۲۵۰ hPa موجب فرارفت چرخندی تاوایی در منطقه بی‌هنجری‌های منفی تاوایی پتانسیلی شده و سبب عمیق‌تر شدن ناوه موجود در این منطقه می‌شود. بدین ترتیب بی‌هنجری‌های واچرخندی موجود در سطح زمین می‌تواند در حکم یک عامل واداشت عمل کند و موجب تقویت امواج راسی در سطوح فوقاری جوّ شود.

دیگر در ابتدای این بخش بیان شد که بی‌هنجری‌های تاوایی پتانسیلی مربوط به امواج راسی در سطوح فوقاری جوّ‌نیز می‌تواند با القای بی‌هنجری‌های میدان باد در سطح زمین، در تحول بی‌هنجری‌های میدان باد و دمای سطح زمین موثر باشد. برای بررسی برهمنکش بین پُرفشار سیبری و امواج راسی سطوح فوقاری جوّ و همچنین آثار اشاره شده در فوق، بی‌هنجری‌های میدان باد در تراز hPa ۲۵۰ همراه با میانگین بلندمدت دما در تراز ۸۵۰ hPa شکل ۹-الف و بی‌هنجری‌های میدان باد در تراز hPa ۸۵۰ همراه با تاوایی پتانسیلی در تراز ۲۵۰ hPa در شکل ۹-ب آورده شده است. این شکل‌ها مربوط به دو روز قبل از روز بیشینه فعالیت ۲۵ مورد از قوی‌ترین رویدادهای پُرفشار سیبری است. طبق شکل ۹-الف انتظار می‌رود که با القای گردش چرخندی در تراز ۸۵۰ hPa ناشی از بی‌هنجری چرخندی باد در تراز ۲۵۰ hPa، فرارفت هوای گرم در شرق و فرارفت هوای سرد در غرب لکه سرد سطح زمین به وجود آید که کاملاً مخالف فرارفتهای قبلی است. بنابراین بی‌هنجری‌های تاوایی پتانسیلی مربوط به بسته موج فرودی شباهیستا در سطوح فوقاری جوّ، در



(ب)



(الف)

شکل ۹. (الف) میانگین بی‌هنجری‌های میدان باد در تراز ۲۵۰ hPa همراه با میانگین بلندمدت دمای هوای در تراز ۸۵۰ hPa و (ب) میانگین بی‌هنجری‌های میدان باد در تراز ۸۵۰ hPa همراه با تاوایی پتانسیلی در تراز ۲۵۰ hPa در دو روز قبل از روز بیشینه فعالیت ۲۵ مورد رویداد بسیار قوی پُرفشار سیبری. بازه پرینتی برای دمای هوای ۵ درجه سلسیوس و تاوایی پتانسیلی PVU ۱ است. در شکل الف بی‌هنجری‌های دمای کمتر از منهای عدوجه سلسیوس با زمینه سایه‌دار و مقیاس بردارهای باد نیز در گوشه پایین و سمت راست دو شکل نشان داده شده است.

۷ نتیجه‌گیری

در این مقاله سعی شده است تا با شناسایی قوی‌ترین رویدادهای پُرفشار سیبری در دوره مورد بررسی (۱۹۴۸ تا ۲۰۰۸)، برخی از ویژگی‌های فیزیکی و دینامیکی ساختار آن بررسی شود. برای این کار، ابتدا یک شاخص منطقه‌ای به صورت میانگین روزانه از بی‌هنچاری فشار تراز دریا در منطقه مرکزی پُرفشار سیبری (۶۵–۴۰ درجه شمالی و -۸۰ درجه شرقی) نسبت به میانگین بلندمدت زمستانی (دسامبر-ژانویه-فوریه) در نظر گرفته شد. سپس با استفاده از این شاخص، ۲۵ مورد از قوی‌ترین رویداد پُرفشار سیبری شناسایی و مورد تجزیه و تحلیل قرار گرفت. این تحقیق نیز با استفاده از تحلیل ضرایب همبستگی و همچنین عملی ساختن محاسبات فرایابی برای برخی از کمیت‌های هواشناختی صورت گرفته است.

نتایج نشان می‌دهد زمانی که پُرفشار سیبری در حال تقویت است، ابتدا حول موقعیت اقلیمی خود متراکم تر می‌شود تا اینکه به بیشینه شدت فعالیت خود مرسد. پس از آن وارد مرحله تضعیف می‌شود و با آهنگ سریع تری در راستای شمال غربی-جنوب شرقی گسترش می‌یابد. همچنین مشاهده می‌شود که یک موج راسی شبهایستا در نیمه فوکانی وردسپهر (تراز ۵۰۰ hPa و بالاتر از آن) وجود دارد، به طوری که یک ناوه آن در بخش جریان‌سوی مرکز پُرفشار قرار دارد و یک پشته آن در بخش پادرجریان‌سو بند می‌آید. محاسبه و تحلیل کمیت‌هایی از قبیل تواوی شبانسیلی و بردار شار فعالیت موج حاکی از آن است که بخش جریان‌سوی مرکز پُرفشار، بیشتر متأثر از ناوه موجود در غرب اقیانوس آرام و همچنین القای بی‌هنچاری‌های چرخندی ناشی از تاشدگی وردایست در این منطقه است؛ در حالی که بخش پادرجریان‌سو بیشتر متأثر از انتشار امواج راسی با منشا شمال اروپا-اقیانوس اطلس است. نتایج محاسبه فرارفت افقی دما نشان می‌دهد که در مرحله تقویت پُرفشار سیبری، فرارفت هوای سرد در بخش

منابع

- چوچاچی‌زاده مقدم، م. ب.، ۱۳۷۶: بررسی الگوهای سینوپتیکی فرابار سیبری و اثرات آن بر دمای شمال شرق ایران. رساله دکتری اقلیم‌شناسی، دانشگاه تهران.
- علیجانی، ب.، ۱۳۶۹: چگونگی تشکیل فرابار سیبری و اثر آن بر اقلیم شرق ایران. تحقیقات جغرافیایی، شماره ۱۷، صفحه ۴۱-۵۱.
- محمدنژاد، ع.، احمدی گیوی، ف. و ایران‌نژاد، پ.، ۱۳۸۸: اثر بازه‌های نوسان سالانه کمرنند پُرفشار جنب‌حاره و پُرفشار سیبری بر چرخندزایی مدیترانه و بارش ایران. مجله فیزیک زمین و فضا، ۴(۳۵)، ۱۱۵-۱۳۰.
- Andrews, D. G., and McIntyre, M. E., 1976: Planetary waves in horizontal and vertical shear: The generalized Eliassen-Palm relation and the mean zonal acceleration. *J. Atmos. Sci.*, **33**, 2031-2048.
- Bluestein, H. R., 1992: *Synoptic-Dynamic Meteorology in Midlatitude*. Vol. II. Oxford University Press, 594 pp.
- Ding, Y., 1990: Build-up, air mass transformation and propagation of Siberian high and its

- role of successive downstream development in East Asian polar air outbreaks. *Mon. Wea. Rea.*, **110**, 1224-1237.
- Panagiotopoulos, F., Shahgedanova, M., Hannachi, A., and Stephenson, D. B., 2005: Observed trends and teleconnections of the siberian high: A recently declining center of action. *J. Climate*, **18**, 1411-1422.
- Plumb, R. A., 1985: On the three-dimentional propagation of stationary waves. *J. Atmos. Sci.*, **42**, 217-219.
- Suda, K., 1957: The mean pressure field charachteristic to persistent cold waves in the Far East. *J. Meteor. Soc. Japan*, **35**, 192-198.
- Takaya, K., and Nakamura, H., 2001: A formulation of a phase-independent wave-activity flux for stationary and migratory quasigeostrophic eddies on a zonally varying basic flow. *J. Atmos. Sci.*, **58**, 608-627.
- Takaya, K., and Nakamura, H., 2005: Mechanism of interseasonal amplification of the cold siberian high. *J. Atmos. Sci.*, **62**, 4423-4440.
- relation to cold surge in East Asia. *Meteoro. Atmos. Phys.*, **44**, 281-292.
- Ding, Y., and Krishnamurti, T. N., 1987: Heat budget of the Siberian high and winter monsoon. *Mon. Wea. Rev.*, **115**, 2428-2449.
- Gong, D. Y., and C. H. Ho, 2002: Siberian high and climate change over middle to high Latitude Asia. *Theoretical and Applied Climatology*, **72**, 1-9.
- Gong D. Y., and C. H. Ho, 2004: Intra-seasonal variability of wintertime temperature over East Asia. *Int. J. Climateol.*, **24**, 131-144.
- Holton, J. R., 2004: An Introduction to Dynamics Meteorology. 4th Ed., Academic Press, 525pp.
- Hoskins, B. J., McIntyre M. E, and A. W. Robertson, 1985: On the use and significant of isentropic potential vorticity maps. *Quart. J. Roy. Meteor. Soc.*, **111**, 877-946.
- Huschke, R. E. (ed.) 1980: The Glossary of Meteorology. Boston, Massachusetts, American Meteorological Society Press.
- Joung, C. H., and Hitchman, M. H., 1982: On the